

**ВОСПЛАМЕНЕНИЕ ПОЛОГА ЛЕСА ПРИ ВЕРХОВЫХ ПОЖАРАХ  
И РАСЧЕТ ШИРИНЫ ПРОТИВОПОЖАРНЫХ ЗАСЛОНОВ**

*А. М. Гришин, В. Г. Зверев*  
(Томск)

Для борьбы с огнем при верховых и низовых лесных пожарах используются противопожарные заслоны из негоримых древесных пород и минерализованные полосы, свободные от лесных горючих материалов и опада [1, 2]. В настоящее время размеры противопожарных заслонов и полос определяются на основе рекомендаций практиков и не имеют теоретической основы. В работе [3] предложена математическая модель лесных пожаров для непродуваемых (терминология из [4]) лесных массивов, в рамках которой дается аналитическое решение задачи о воспламенении полога леса при верховых пожарах, что позволило получить алгебраическое уравнение для определения ширины противопожарного заслона в функции от скорости ветра и характеристик фронта горения.

В данной работе даются постановка и численное решение задачи о воспламенении полога леса с учетом излучения от факела и конвективного тепло- и массопереноса. В результате численного анализа предельных условий воспламенения получена зависимость ширины противопожарного заслона от скорости ветра, влажности лесных горючих материалов, ширины фронта горения, массового расхода продуктов горения.

**Постановка задачи**

Рассмотрим безграничный лесной массив с плоским фронтом верхового пожара, моделируемый зоной повышенной температуры, из которой в приземный слой атмосферы поступают нагретые газообразные продукты горения. Будем считать, что скорость ветра такова, что массовая скорость вдува продуктов горения  $(\rho v)_r$  в приземный слой атмосферы меньше массовой скорости ветра  $(\rho v)_e$ , а направление ветра совпадает с положительным направлением оси  $x$ . В результате конвективного тепло- и массопереноса и излучения от факела лесные горючие материалы (тонкие веточки, хвоя) полога леса нагреваются и высушиваются. При дальнейшем нагревании происходит пиролиз растительной массы, воспламенение продуктов пиролиза и полога леса, в результате чего выделяется тепло и процесс повторяется в указанном порядке. Для простоты анализа поставленной задачи сделаем следующие допущения.

- 1) в приземном слое атмосферы имеет место турбулентное заморозженное течение газа;
- 2) температура продуктов горения постоянна;
- 3) лесной массив является непродуваемым, вследствие чего перенос массы, импульса и энергии в направлении скорости ветра в пологе леса пренебрежимо мал по сравнению с турбулентным переносом поперек полога леса;
- 4) газовая и конденсированная фазы имеют в одной и той же точке пространства одинаковую температуру;

5) реакция пиролиза термонейтральна, а сам процесс воспламенения лимитируется поступлением газообразных продуктов пиролиза;

6) испарение влаги происходит в неравновесном режиме;

7) перенос энергии диффузией пренебрежимо мал по сравнению с переносом энергии кондукцией и излучением;

8) факел пламени излучает как плоская стенка с постоянной степенью черноты и известным углом наклона  $\gamma$  к верхней границе полога леса;

9) нагрев полога леса кондукцией, конвекцией и излучением осуществляется от факела пламени сверху в соответствии со схемой, предложенной в [3];

10) коэффициенты турбулентной теплопроводности и диффузии поперек полога леса определяются формулами [5]

$$\lambda_{3\tau} = \rho_3 c_{p3} k_1 (h - y) / z_1, \quad \rho_3 D_\tau = \rho_3 k_1 (h - y) / z_1, \quad (1)$$

где  $y$  — координата, отсчитываемая от верхней границы полога леса к нижней;  $z_1 = 1$  м — эмпирическая постоянная;  $h$  — высота полога леса, отсчитываемая от поверхности земли;  $k_1 = 0,3$  м<sup>2</sup>/с — эмпирическая постоянная [5].

Выписанные выше допущения составляют физическую модель рассматриваемого явления. В рамках этой модели фронт пожара с точки зрения тепло- и массопереноса представляет тепловую завесу [6]. Наиболее обременительно третье допущение, однако оно с достаточной степенью реализуется для непродуваемых лесов, в пологе которых скорость ветра мала. Что касается остальных допущений, то они в достаточной степени реалистичны. В частности, перенос энергии диффузией можно игнорировать [7], если теплоемкости компонентов газовой фазы мало отличаются друг от друга.

Исследуем процесс воспламенения полога леса и на этой основе определим ширину противопожарного заслона. С учетом принятых допущений и результатов работы [3] получаем следующие уравнения, начальные и граничные условия для решения сформулированной выше задачи:

$$(\overline{\rho c_p}) \frac{\partial \Theta}{\partial \tau} = \frac{\partial}{\partial \eta} \left( \overline{\lambda} \frac{\partial \Theta}{\partial \eta} \right) + \frac{aC \exp \left( \frac{b_3 \Theta}{1 + \beta \Theta} \right)}{(1 + \beta \Theta)^{2,25}} - \frac{\varphi_2 \exp \left( \frac{\Theta}{1 + \beta \Theta} \right)}{(1 + \beta \Theta)^{1/2}} + \varphi_{3w} B \mu e^{-\mu \eta}, \quad (2)$$

$$\overline{\rho_3 \varphi_3} \frac{\partial C}{\partial \tau} = \text{Le} \frac{\partial}{\partial \eta} \left( \overline{\rho_3 \varphi_3 D_\tau} \frac{\partial C}{\partial \eta} \right) + \gamma (\varphi_1 - \varphi_c) (1 - C) \exp \frac{b_1 \Theta}{1 + \beta \Theta} - \frac{\gamma_3 C \exp \frac{b_3 \Theta}{1 + \beta \Theta}}{(1 + \beta \Theta)^{2,25}}, \quad (3)$$

$$\frac{d\varphi_i}{d\tau} = -\gamma_i \exp \frac{b_i \Theta}{1 + \beta \Theta} (\varphi_i - \varphi_c), \quad \frac{d\varphi_i}{d\tau} = -\gamma_2 \varphi_2 \frac{\exp \frac{\Theta}{1 + \beta \Theta}}{(1 + \beta \Theta)^{1/2}}, \quad \sum_{i=1}^3 \varphi_i = 1, \quad (4)$$

$$\overline{\rho_3} = (1 + \beta \Theta)^{-1}.$$

Граничные условия:

$$-\overline{\lambda} \frac{\partial \Theta}{\partial \eta} \Big|_{\eta=0} = \text{Nu} (\Theta_A - \Theta_w) + \pi_q (1 - \varphi_{3w}) - \frac{\pi_2 \exp \frac{\Theta_w}{1 + \beta \Theta_w}}{(1 + \beta \Theta_w)^{1/2}} \varphi_{2w}^2, \quad (5)$$

$$(\overline{\rho_3 \varphi_3 D_\tau}) \frac{\partial C}{\partial \eta} \Big|_{\eta=0} = \text{Nu}_D C_w, \quad \frac{\partial \Theta}{\partial \eta} \Big|_{\eta=\infty} = 0, \quad \frac{\partial C}{\partial \eta} \Big|_{\eta=\infty} = 0. \quad (6)$$

Начальные условия:

$$\Theta|_{\tau=0} = \Theta_n, \quad C|_{\tau=0} = 0, \quad \varphi_i|_{\tau=0} = \varphi_{in}, \quad i = 1, 2. \quad (7)$$

Здесь  $\Theta = \frac{(T - T_*) E_2}{RT_*^2}$  — безразмерная температура;  $\beta = RT_*/E_2$ ;

$$\begin{aligned}
b_i &= E_i/E_2; \quad i = 1, 3; \quad (\overline{\rho c_p}) = \sum_{i=1}^3 \rho_i \varphi_i c_{pi} / (\rho c_p)_*; \quad \bar{\lambda} = \sum_{i=1}^3 \lambda_i \varphi_i / \lambda_*; \\
a &= \frac{q_3 k_{03} \exp\left(\frac{E_2 - E_3}{RT_*}\right)}{T_*^{1,75} q_2 k_{02} \rho_2^s}; \quad \mu = ky_*; \quad B = \frac{Q_R t_* E_2}{RT_*^2 (\rho c_p)_* y_*}; \\
Le &= \frac{D_{T*} (\rho c_p)_*}{\lambda_*}; \quad \gamma = \frac{t_* k_{01} \rho_1}{(\rho_3 \varphi_3)_*} \exp\left(-\frac{E_1}{RT_*}\right); \quad \gamma_1 = t_* k_{01} \exp\left(-\frac{E_1}{RT_*}\right); \\
\gamma_2 &= \frac{t_* k_{02}^s}{\sqrt{T_*}} \exp\left(-\frac{E_2}{RT_*}\right); \quad \gamma_3 = \frac{t_* k_{02}}{(\rho_3 \varphi_3)_* T_*^{2,25}} \exp\left(-\frac{E_3}{RT_*}\right); \quad \rho_{3*} = \frac{\rho_H M}{RT_*}; \\
Nu &= \frac{y_* \alpha}{\lambda_*}; \quad \pi_{\bar{y}} = \frac{Q_R y_* E_2}{\lambda_* RT_*^2}; \quad \pi_z = \frac{q_2 k_{02} \rho_2 E_2 y_*}{\sqrt{T_*} RT_*^2 \lambda_*} \exp\left(-\frac{E_2}{RT_*}\right); \\
L &= \frac{\rho_3 c_{p3} D_T}{\lambda_{3T}}; \quad Nu_D = \frac{\alpha y_* L}{c_{p3} (\rho_3 \varphi_3 D_T)_*}; \quad \varphi_c = \varphi_{1H} k_c
\end{aligned}$$

— безразмерные параметры, физический смысл которых вытекает из их определения;  $T_*$  — характерная температура;  $M$  — молекулярный вес смеси, который считается постоянным, так как изменяющаяся массовая концентрация продуктов пиролиза мала по сравнению с концентрацией других компонентов газовой фазы;  $t_* = \frac{(\rho c_p)_* RT_*^2 \sqrt{T_*}}{E_2 q_2 k_{02}^s \rho_2} \exp \frac{E_2}{RT_*}$  — ха-

рактерное время;  $y_* = \sqrt{\frac{\lambda_*}{\lambda_* (\rho c_p)_* t_*}}$  — характерная длина;  $\eta = y/y_*$  — безразмерная координата;  $\eta_{\infty} = (h - h_1)/y_*$  — безразмерная высота полога леса от его нижней границы  $h_1$ ;  $\tau$  — безразмерное время;  $x, y$  — координаты декартовой системы координат, связанной с верхней границей полога леса ( $x=0$  соответствует левой границе фронта пожара), ось  $y$  направлена вниз;  $h$  — высота полога леса;  $T, C, \varphi_1, \varphi_2, \varphi_3$  — температура реагирующей среды (полога леса), концентрация продуктов пиролиза, объемная доля сухого органического вещества, влаги и газовой фазы соответственно;  $\rho, c_p, \lambda$  — плотность, теплоемкость и коэффициент теплопроводности;  $s$  — удельная поверхность листьев, хвои в единице объема полога леса,  $m^{-1}$ ;  $k$  — коэффициент ослабления в законе Бугера;  $E_1, k_{01}, E_2, k_{02}, E_3, k_{03}$  — энергия активации и предэкспоненты реакций разложения сухого органического вещества, испарения влаги, эффективной реакции взаимодействия продуктов пиролиза лесных горючих материалов с кислородом;  $q_2, q_3$  — тепловые эффекты реакции испарения влаги и окисления продуктов пиролиза;  $Q_R = \varepsilon \sigma T_r^4 \cdot 0,5 (1 - (l \cdot \cos \gamma + \Delta x) / \sqrt{l^2 + 2\Delta x l \cos \gamma + \Delta x^2})$ ,  $\Delta x = x - x_r$  — радиационный тепловой поток;  $T_a, \alpha$  — адиабатическая температура поверхности и коэффициент теплоотдачи, определяемые по формулам

$$\begin{aligned}
T_a &= T_e + (T_r - T_e) \left( 1 + \frac{0,00128 \operatorname{Re}_{\Delta x}}{\operatorname{Re}_r^{0,7}} \right)^{-0,4}, \\
\alpha &= 2650 \rho_e v_e c_{pe} \operatorname{Re}_{\Delta x}^{-0,8} \operatorname{Re}_r^{0,2} [\rho_e v_e / (\rho v)_r]^{0,1} \operatorname{Fr}^{0,3}
\end{aligned}$$

из работы [8];  $k_c$  — коксовое число для лесных горючих материалов;  $L, \varepsilon$  — длина факела пламени и коэффициент черноты;  $\gamma$  — угол наклона пламени к горизонтальной верхней границе полога леса, отсчитываемый по часовой стрелке;  $D_T$  — коэффициент турбулентной диффузии;  $\operatorname{Re}_{\Delta x} = \rho_e v_e (x - x_r) / \mu_e$ ,  $\operatorname{Re}_r = (\rho v)_r x_r / \mu_r$ ,  $\operatorname{Fr} = v_e^2 / gh$  — безразмерные параметры;  $g$  — ускорение силы тяжести,  $m/c^2$ ; индексы 1, 2, 3,  $w, e, \Gamma$  относятся к сухому органическому веществу, влаге, газообразной фазе, параметрам на верхней границе полога леса, набегающего потока, зоны горения и начальным условиям. Символ \* относится к характерным значениям величин, а черта сверху — к безразмерным величинам.

Подчеркнем, что теплофизические и термокинетические свойства лесных горючих материалов в пологе заслона могут отличаться от соответствующих свойств лесных горючих материалов в основном лесном массиве. Поскольку нагревается полог леса согласно принятой физической модели сверху, то свободная конвекция в нем в соответствии с условием ее возникновения [9] не имеет места. Поэтому в левых частях уравнений (2) и (3) отсутствуют конвективные члены  $v \cdot dT/dy$  и  $v \cdot dC/dy$ .

Для нахождения конвективного потока из газовой фазы использованы результаты численных расчетов тепло- и массопереноса в приземном слое атмосферы над пологом леса, полученные в [8]. Надо сказать, что профиль ветра сильно трансформируется вблизи очага горения [1]. В условиях (5), (6) этот факт учитывается с достаточной для целей качественного анализа явлений степенью точности. При скорости ветра  $7 < v_e < 22$  м/с,  $2 < x_r < 14$  м,  $0,8 < (\rho v)_r < 5$  кг/(м<sup>2</sup>·с) погрешность аналитической формулы для конвективного теплового потока не превосходит 25%. Для задания лучистого потока  $Q_r$ , падающего на поверхность полога, использовались результаты работы [10]. При задании диффузионного потока из газовой фазы применялась аналогия процессов тепло- и массообмена [11]. Для энергии активации и предэкспонента реакции пиролиза лесных горючих материалов использовались значения  $E_1/R = 9420$  град,  $k_{01} = 3,6 \cdot 10^4$  с<sup>-1</sup> согласно [12]. Термокинетические постоянные эффективной реакции взаимодействия продуктов пиролиза с кислородом брались для окисления наиболее представительного компонента газообразных продуктов пиролиза — окиси углерода [13]:  $E_3/R = 13\,500$  град,  $k_{03} = 1 \cdot 10^{14}$ ,  $q_3 = 5 \cdot 10^6$  Дж/кг. Наконец, для термохимических постоянных испарения влаги использовались следующие значения:  $E_2/R = 6000$  град,  $sk_{02} = 6 \cdot 10^5$  град<sup>1/2</sup>/с,  $q_2 = 2,97 \cdot 10^6$  Дж/кг. Значение удельной поверхности макропор  $s = 1$  м<sup>-1</sup> [4]. Начальные объемные доли компонентов изменялись в следующих пределах:  $\varphi_{1н} = 0,004$ ,  $\varphi_{2н} = 0 \div 0,003$ . Использовались теплофизические параметры лесных горючих материалов из [1]:  $\lambda_1 = 0,2$  Дж/(м·с·град),  $\rho_1 = 500$  кг/м<sup>3</sup>,  $c_p = 2 \cdot 10^3$  Дж/(кг·град),  $\lambda_2 = 0,6$  Дж/(м·с·град),  $\rho_2 = 1 \cdot 10^3$  кг/м<sup>3</sup>,  $c_{p2} = 4,18 \cdot 10^3$  Дж/(кг·град). Теплофизические параметры газовой фазы считались такими же, как и для воздуха при соответствующих температурах.

Следует подчеркнуть, что, так как точность определения термокинетических постоянных не известна, а конвективный тепловой поток аппроксимирован с известной точностью только при  $7 < v_e < 22$  м/с, то данная постановка задачи и представленные ниже численные результаты носят ограниченный характер.

### Приближенное аналитическое решение задачи

Оценки показывают, что толщина прогретого слоя в пологе леса мала по сравнению с его высотой. Кроме того, коэффициенты переноса в среднем мало отличаются от постоянных, соответствующих  $y = h/2$ . Поэтому для аналитического решения краевой задачи (2)—(7) можно считать величину  $\eta_\infty$  бесконечно большой, а коэффициенты переноса постоянными, что позволяет использовать комбинацию метода преобразования Лапласа и асимптотического метода вычисления несобственных интегралов [10]. Плотность газовой фазы определим при характерной температуре. В результате вместо уравнений в частных производных (2), (3) имеем интегральные уравнения

$$\Theta_w = \Theta_n + \frac{2\pi q}{\sqrt{\pi}} \sqrt{\tau} + \text{Nu} \int_0^\tau \frac{(\Theta_A - \Theta_w) dt}{\sqrt{\pi(\tau - t)}} - \pi_2 \int_0^\tau \frac{\varphi_{2w}^2 (1 + \beta\Theta_w)^{-1/2}}{\sqrt{\pi(\tau - t)}} \times$$

$$\begin{aligned} & \times \exp \frac{\Theta_w}{1+\beta\Theta_w} dt + \int_0^\tau \left[ aC_w (1+\beta\Theta_w)^{-2,25} \exp \frac{b_3\Theta_w}{1+\beta\Theta_w} - \right. \\ & \left. - \varphi_{2w} (1+b\Theta_w)^{-1/2} \exp \frac{\Theta_w}{1+\beta\Theta_w} \right] dt + \frac{\varphi_{3w}B}{\mu} \left\{ e^{\mu^2\tau} \left[ 1 - \right. \right. \\ & \left. \left. - \Phi(\mu\sqrt{\tau}) \right] - 1 + \frac{2\mu\sqrt{\tau}}{\sqrt{\pi}} \right\}, \end{aligned} \quad (8)$$

$$\begin{aligned} C_w = -Nu_D V \bar{L} e \int_0^\tau \frac{C_w dt}{\sqrt{\pi(\tau-t)}} + \int_0^\tau \gamma (\varphi_{1w} - \varphi_e) (1 - \\ - \bar{C}_w) \exp \frac{B_1\Theta_w}{1+\beta\Theta_w} dt - \int_0^\tau \gamma_3 (1+\beta\Theta_w)^{2,25} C_w \times \\ \times \exp \frac{b_3\Theta_w}{1+\beta\Theta_w} dt. \end{aligned} \quad (9)$$

Для определения  $\Theta_w$  для малых  $\tau$  можно использовать уравнение

$$\Theta_w = \Theta_H + \frac{2}{\sqrt{\pi}} V \bar{\tau} \left\{ Nu (\Theta_A - \Theta_w) + \pi_q (1 - \varphi_{3w}) - \frac{\pi_2 \varphi_{2H}^2}{(1+\beta\Theta_w)^{1/2}} \exp \frac{\Theta_w}{1+\beta\Theta_w} \right\}, \quad (10)$$

которое получается, если в (8), (9) пренебречь всеми интегралами, кроме первых, и для их вычисления использовать разложение подынтегрального выражения в ряд по степеням  $(\tau-t)$  и ограничиться первым членом этого ряда. Величины  $\varphi_{1w}$  и  $\varphi_{2w}$  в (10) можно определить, используя разложения

$$\varphi_i = \varphi_{iH} + \varphi_{i1} \sqrt{\tau} + \varphi_{i2} \tau + \dots, \quad i = 1, 2. \quad (11)$$

Если считать, что температура зажигания априори известная величина и принять ее в качестве величины  $T_*$ , а также ограничиться первым членом ряда (11), то из (10) можно получить следующее выражение для времени зажигания:

$$\tau_* = \frac{\pi \Theta_H^2}{4 [Nu \Theta_A + \pi_q (1 - \varphi_{3H}) - \pi_2 \varphi_{2H}^2]^2}. \quad (12)$$

Анализ формулы (12) показывает, что время воспламенения убывает с ростом числа Нуссельта (безразмерного конвективного теплового потока) и  $\pi_q$  (безразмерного лучистого потока), а с ростом скорости испарения величина  $\tau_*$  растет.

Интересно, что при  $Nu \rightarrow Nu_*$   $\tau_* \rightarrow \infty$ . Таким образом, воспламенение имеет место только при  $Nu > Nu_*$ . Величина  $Nu_*$  определяется формулой

$$Nu_* = \frac{\pi_2 \varphi_{2H}^2 - \pi_q}{\Theta_A}. \quad (13)$$

Предельный конвективный поток убывает с ростом безразмерного лучистого потока и растет с увеличением скорости испарения, что согласуется с априорными физическими соображениями. Поскольку  $Nu$  и  $\Theta_A$  зависят от  $x$ , то уравнение

$$Nu = Nu_* \quad (14)$$

дает возможность определить предельное расстояние  $x$  такое, что при  $x > x_*$  зажигание проводников горения не имеет места (иными словами,  $x = x_*$  — координата фронта зажигания). Зная величину  $x_*$ , можно опре-

делить ширину противопожарных заслонов (полос), обеспечивающих нераспространение низового или верхового лесного пожара.

Уравнение (14) приближенно можно решить методом простой итерации. Для этого удобно переписать уравнение (14) следующим образом:

$$\xi = \text{Re}_{\Delta x} = 781,3 \cdot \text{Re}_r^{0,7} \left\{ \left[ \frac{(T_* - T_e)}{(T_r - T_e)} + \frac{\lambda_* \xi^{0,8} (\pi_2 \varphi_{2н}^2 - \pi_q) R T_*^2}{A y_* (T_r - T_e) E_2} \right]^{-1,25} - 1 \right\}, \quad (15)$$

$$A = 2650 \rho_e v_e c_{pe} \text{Re}_r^{0,2} [\rho_e v_e / (\rho v)_r]^{0,1} \text{Fr}^{0,3}.$$

Первое приближение имеет вид

$$\xi_1 = 781,3 \cdot \text{Re}_r^{0,7} \left\{ \left( \frac{T_* - T_e}{T_r - T_e} \right)^{-1,25} - 1 \right\}, \quad \xi = \text{Re}_{\Delta x}. \quad (16)$$

Второе приближение получим, подставляя (16) в правую часть уравнения (15)

$$\xi_2 = 781,3 \cdot \text{Re}_r^{0,7} \left\{ \left[ \frac{T_* - T_e}{T_r - T_e} + \frac{\lambda_* \xi_1^{0,8} (7,0 \cdot \pi_2 \varphi_{2н}^2 - \pi_q) R T_*^2}{A y_* (T_r - T_e) E_2} \right]^{-1,25} - 1 \right\}. \quad (17)$$

При получении (17) перед  $\pi_2 \varphi_{2н}^2$  для лучшего согласования с результатами численного решения введен корректирующий множитель 7. Поэтому выражение (17) следует рассматривать как формулу, интерполирующую результаты численного счета задачи в точной постановке. Отметим, что введение корректирующего множителя перед  $\pi_2 \varphi_{2н}^2$  одновременно повышает и точность формулы (12).

Анализ формул (16), (17) для ширины противопожарного заслона показывает, что  $\Delta x_*$  растет с  $(\rho v)_r$  и  $x_r$  и убывает с ростом объемной доли воды  $\varphi_{2н}$  и скорости ветра  $v_e$ . Последнее объясняется тем, что при сильном ветре газообразные продукты горения сильно разбавляются холодным воздухом и их температура падает.

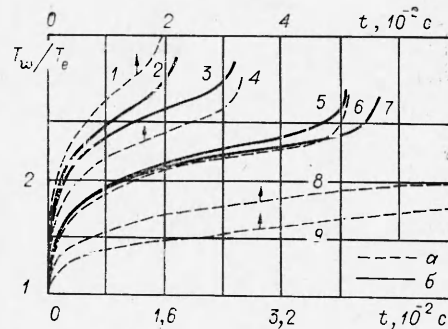
Любопытно, что величины  $\tau_*$  и  $\Delta x_*$  относительно слабо зависят от выбора характерной температуры  $T_*$ , изменяющейся в физически разумных пределах  $600 < T_* < 650$  К [1]. Это в конечном счете оправдывает использование в данном случае понятия температуры зажигания.

#### Алгоритм и результаты численного решения задачи

Поскольку входящие в граничные условия (5) и (6) параметры зависят от продольной координаты  $x$ , то краевая задача (2)—(8) многократно численно интегрировалась для различных  $x$  при одних и тех же значениях входных параметров задачи (скорости ветра  $v_e$ , размеров фронта горения  $x_r$ , температуры  $T_r$  в зоне горения, массового расхода  $(\rho v)_r$ ). В каждом сечении по  $x$  задача (2)—(7) решалась либо до момента воспламенения, либо счет прекращался при  $t = 15$  мин в случае невоспламенения полого леса. Система (2)—(7) решалась при помощи итерационно-интерполяционного метода, изложенного в [13]. Погрешность аппроксимации используемой разностной схемы  $O(\Delta h_2 + \Delta t)$ , где  $\Delta h$  — шаг по пространственной координате,  $\Delta t$  — временной шаг. Программа тестировалась на задачах теплопроводности, имеющих аналитические решения [14], и некоторых численных решениях задач теории зажигания [12].

На рис. 1, а представлена зависимость температуры на верхней границе полого леса от времени при различных значениях продольной координаты  $x$ . Величины параметров состояния зоны горения и набегающего потока на уровне верхней границы полого леса таковы:  $x_r = 6$  м,  $(\rho v)_r = 2$  кг/(м<sup>2</sup> · с),  $T_r = 1300$  К,  $v_e = 7,3$  м/с,  $l = 6$  м,  $\gamma = 135^\circ$ ,  $\varphi_{1н} = 0,004$ ,  $\varphi_{2н} = 0,001$ ,  $\varepsilon = 0,7$ ,  $k = 0,6$  м<sup>-1</sup>,  $h = 10$  м,  $L = 0,7$ . Видно, что кривые 1, 4, 6, соответствующие сечениям на расстояниях 10, 15, 20 м от правого края зоны горения, имеют характерный взрыв температуры. Быстрый рост температуры происходит в силу того, что выделяющиеся при нагре-

Рис. 1. Зависимость температуры среды на верхней границе полога леса в функции от времени (а) и влияние излучения от фронта пожара на температуру среды на верхней границе полога леса (б).



вании полога леса летучие продукты пиролиза вступают в экзотермическую реакцию с кислородом воздуха. Кривые 8, 9 рис. 1, а, которые соответствуют расстояниям  $\Delta x = 30, 40$  м от правого края зоны горения, не имеют взрыва температуры, что можно интерпретировать, как невоспламенение лесных горючих материалов в пологе леса.

Интересно, что кривые 1, 4, 6 на рис. 1 напоминают те, которые получаются при воспламенении конденсированных веществ тепловым потоком [13]. Поэтому в дальнейшем, так же как и в [13], за условие воспламенения принимался критерий

$$\left. \frac{d^2 T_w}{dt^2} \right|_{t=t_*} = 0, \quad (18)$$

где  $t_*$  — время зажигания верхней границы полога леса. Кривые 8, 9 рис. 1 асимптотически выходят на значения температуры, которая ниже температуры разложения лесных горючих материалов (веточек, хвоинок), и в этом случае зажигание, очевидно, не имеет места.

На рис. 1, б при тех же параметрах зоны горения, набегающего потока, полога леса, что и для рис. 1, а (только  $l = 10$  м), показана зависимость температуры поверхности полога леса от времени на удалении  $\Delta x = 12$  м (кривые 2, 3) и 18 м (кривые 5, 7) от правого конца зоны горения с учетом (кривые 2, 5) и без учета лучистого потока от факела к поверхности полога леса. Сравнивая кривые 2 и 3, заключаем, что до расстояний ( $\Delta x = 12$  м) порядка длины факела лучистый тепловой поток существенно влияет на значения температуры  $T_w(t)$  и величину времени зажигания. В то же время на достаточном удалении ( $\Delta x = 18$  м) от фронта пожара влияние излучения на величину  $T_w(t)$  и время зажигания незначительно.

Расчеты показали, что величина времени зажигания сильно зависит от значений термокинетических постоянных процессов пиролиза, сушки и окисления летучих продуктов пиролиза. В результате расчетов установлено, что  $t_*$  с ростом  $T_r$ ,  $(\rho v)_r$  и  $x_r$  при прочих равных условиях убывает, что согласуется с аналитическим решением задачи и априорными физическими соображениями. Для более детальной проверки полученных результатов необходимы специальные экспериментальные исследования.

Параметрическим решением задачи (2)–(7) по продольной координате определялась координата

правой границы противопожарного заслона (полосы)  $x_*$ , при которой не происходит зажигания полога леса. Очевидно, что при  $x > x_*$  зажигание тоже не имеет места. Считалось, что вос-

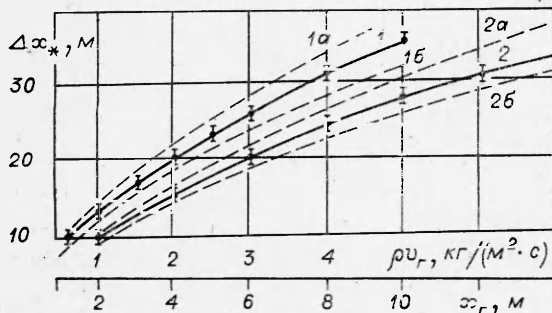


Рис. 2. Зависимость  $\Delta x_*$  от  $(\rho v)_r$  и  $x_r$  (1а, 2а —  $T_* = 600\text{K}$ , 1б, 2б —  $T_* = 630\text{K}$ ).

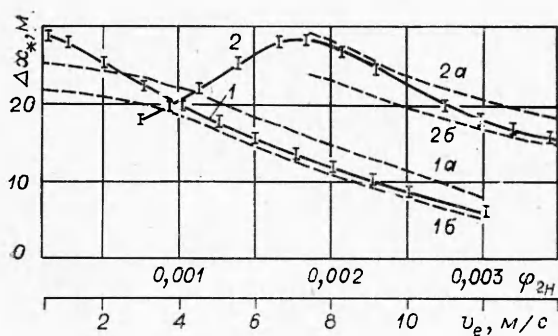


Рис. 3. Зависимость  $\Delta x_*$  от  $\varphi_{2н}$  и  $v_e$  (1а, 2а —  $T_* = 600\text{K}$ , 1б, 2б —  $T_* = 630\text{K}$ ).

пламенение поверхности полога леса реализуется на данном удалении  $\Delta x$  от зоны горения, если выполняется условие (18). При невыполнении этого условия задача (2)–(7) решалась до моментов времени  $t=15$  мин, после чего счет прекращался.

На рис. 2 показана зависимость величины  $\Delta x_* = x_* - x_r$  от параметров  $(\rho v)_r$  (кривая 1,  $x_r = 6$  м) и  $x_r$  (кривая 2,  $(\rho v)_r = 2$  кг/(м<sup>2</sup> · с)), характеризующих процесс горения при тех же значениях остальных параметров, что и на рис. 1, только  $v_e = 11$  м/с; сплошными кривыми изображены результаты численного счета. Как видно из рис. 2, величина  $\Delta x_*$  почти линейно увеличивается с ростом  $(\rho v)_r$  и  $x_r$  и относительно слабо зависит от выбора температуры зажигания  $T_*$ , что обосновывает результаты аналитического исследования. При введении корректирующего множителя аналитическое и численное решения согласуются не только качественно, но и количественно.

На рис. 3 приведены зависимости  $\Delta x_*$  от параметра начального объемного влагосодержания  $\varphi_{2н}$  (см. кривые 1, полученные при  $v_e = 11$  м/с), а также от скорости ветра  $v_e$  на уровне верхней границы полога леса (кривые 2). Значения остальных параметров те же, что и для рис. 1. Сплошными кривыми изображены численные данные, а штриховыми — теоретические результаты, полученные по формуле (17). Видно, что с уменьшением  $\varphi_{2н}$  величина  $\Delta x_*$  возрастает, причем теоретические и численные результаты согласуются друг с другом. Зависимость  $\Delta x_*$  от скорости ветра носит немонотонный характер. При изменении  $v_e$  от 3,5 до 7 м/с величина  $\Delta x_*$  растет, а при  $v_e > 7$  м/с наблюдается убывание значения  $\Delta x_*$  с ростом  $v_e$ .

Эффект роста  $\Delta x_*$  с ростом  $v_e$  согласуется с данными работы [3] и объясняется «запиранием» энергии, выделившейся во фронте горения, в пологе леса вследствие отклонения конвективной колонки от вертикали, в результате чего имеет место нагревание полога леса газообразными продуктами горения. Восходящая ветвь кривой 2 на рис. 3 получена с использованием численных данных для теплового потока из газовой фазы в полог леса, полученных в работе [10], так как аналитической формулы для теплового потока при  $v_e < 7$  м/с подобрать не удалось. Что касается эффекта уменьшения  $\Delta x_*$  с ростом  $v_e$  при  $v_e > 7$  м/с, то он объясняется разбавлением газообразных продуктов горения холодным воздухом и уменьшением их температуры.

По формуле (17) удается получить только нисходящую ветвь кривой 2 (см. рис. 3). Видно, что при  $v_e > 7$  м/с теоретические и численные результаты неплохо количественно согласуются друг с другом, т. е. в данном случае выбор  $T_*$  относительно слабо влияет на величину  $\Delta x_*$ . Как показали численные расчеты, время зажигания также немонотонным образом зависит от скорости ветра. При прочих равных условиях время зажигания вначале убывает с увеличением  $v_e$ , а затем растет, что согласуется с немонотонностью зависимости  $\Delta x_*$  от  $v_e$ .

Полученные результаты уточняют и дополняют данные работы [3], где другим методом получено приближенное решение задачи о расчете ширины противопожарного заслона и представляют интерес при проектировании и проведении лесоустроительных работ.

Поступила в редакцию 23/IV 1980



## ЛИТЕРАТУРА

1. Э. В. Конев. Физические основы горения растительных материалов. Новосибирск: Наука, 1977.
2. Э. Н. Валендик, П. М. Матвеев, М. А. Софронов. Крупные лесные пожары. М.: Наука, 1979.
3. А. М. Гришин.— В сб.: Численные методы механики сплошной среды. Т. 9, № 4. Новосибирск, 1978.
4. А. С. Дубов, Л. П. Быкова, С. В. Марунич. Турбулентность в растительном покрове. Л.: Гидрометеиздат, 1978.
5. М. Е. Берлянд. Современные проблемы атмосферной диффузии и загрязнения атмосферы. Л.: Гидрометеиздат, 1975.
6. С. С. Кутателадзе, А. И. Леонтьев. Тепло- и массообмен и трение в турбулентном пограничном слое. М.: Энергия, 1972.
7. Д. А. Франк-Каменецкий. Диффузия и теплопередача в химической кинетике. М.: Наука, 1967.
8. А. М. Гришин, А. Д. Грузин, В. Г. Зверев. ФГВ, 1981, 17, 4.
9. Л. Д. Ландау, Е. М. Лифшиц. Механика сплошных сред. М.: ГИТТЛ, 1953.
10. В. А. Конев.— В сб.: Вопросы лесной пирологии. Красноярск, 1974.
11. Г. А. Тирский. ПМТФ, 1965, 1.
12. Л. Г. Сосновская, С. К. Чоксум, Е. Н. Сосновский.— В сб.: Горение и пожары в лесу, Красноярск, 1978.
13. Б. В. Алексеев, А. М. Гришин. Введение в аэротермохимию. Саратов, 1978.
14. А. И. Пехович, В. М. Жидких. Расчеты теплового режима твердых тел. Л.: Энергия, 1976.

## ЗАЖИГАНИЕ ГАЗА НАГРЕТЫМ ГОРИЗОНТАЛЬНЫМ ЦИЛИНДРОМ

*Е. П. Костогоров, Э. А. Штессель*  
(Черноголовка)

Развитая в настоящее время тепловая теория зажигания использует предположение о том, что вещество в зоне прогрева неподвижно [1]. Однако при описании процесса зажигания жидких и газовых систем это предположение становится недопустимым. Возникает необходимость учета движения вещества, обусловленного развивающимся во времени естественным-конвективным движением. Причиной возникновения конвекции служит разность температур между зажигающей поверхностью и химически реагирующей жидкостью или газом. Одновременное протекание в системе двух нестационарных процессов — конвекции и реакции — не только усложняет общую картину зажигания, но и вносит в нее некоторые качественные изменения. Поэтому влияние естественной конвекции не может быть учтено лишь введением эффективных коэффициентов, характеризующих теплообмен, как это делается при рассмотрении процессов теплового взрыва [2]. Необходимо совместное решение уравнений, описывающих процесс зажигания и уравнений движения вещества.

В данной работе рассматривается задача о зажигании химически реагирующего газа телом цилиндрической формы в условиях естественной конвекции.

Пусть в среду неподвижного газа с начальной температурой  $T_0$ , при которой химическая реакция незначительна, погружен бесконечный горизонтальный цилиндр. Выбираем систему координат, отсчитывая  $X$  с самой нижней точки поперечного сечения цилиндра, а  $Y$  — по нормали к нему (рис. 1). В начальный момент времени  $t = 0$  температура цилиндра принимает значение  $T_1 > T_0$  и затем остается постоянной.

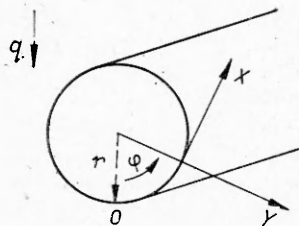


Рис. 1. Система координат.